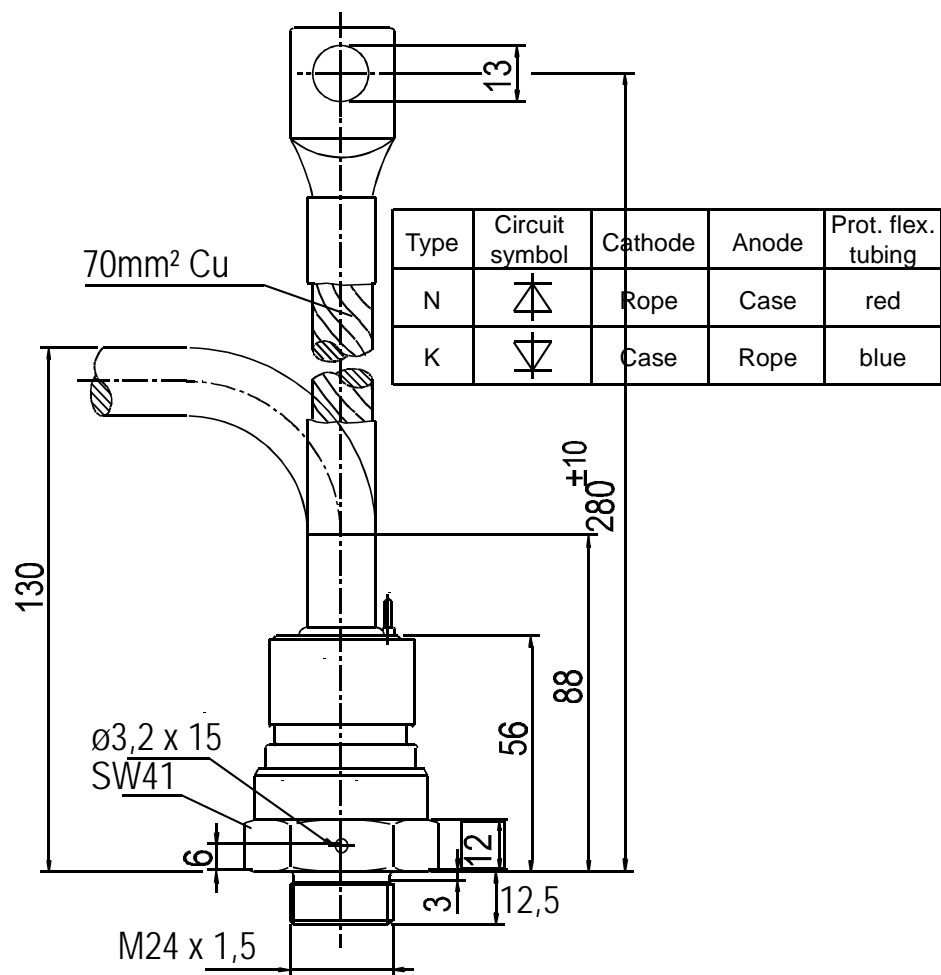


European Power-
Semiconductor and
Electronics Company
GmbH + Co. KG

Leistungsgleichrichterdioden Power Rectifier Diodes D 475 N



D 475 N

Elektrische Eigenschaften						
Electrical properties						
Höchstzulässige Werte		Maximum rated values				
Periodische Spitzensperrspannung	repetitive peak reverse voltage	$t_{vj} = -40^\circ\text{C} \dots t_{vj \max}$	V_{RRM}	3200, 3600	V	
				4000	V	
Stoßspitzensperrspannung	non-repetitive peak reverse voltage	$t_{vj} = +25^\circ\text{C} \dots t_{vj \max}$	$V_{RSM} = V_{RRM}$	+ 100	V	
Durchlaßstrom-Grenzeffektivwert	RMS forward current		I_{FRMSM}	745	A	
Dauergrenzstrom	mean forward current	$t_c = 100^\circ\text{C}$	I_{FAVM}	475	A	
Stoßstrom-Grenzwert	surge forward current	$t_{vj} = 25^\circ\text{C}, t_p = 10 \text{ ms}$	I_{FSM}	12,8	kA	
		$t_{vj} = t_{vj \max}, t_p = 10 \text{ ms}$		10,9	kA	
Grenzlastintegral	$I^2 t$ -value	$t_{vj} = 25^\circ\text{C}, t_p = 10 \text{ ms}$	$I^2 t$	819	$\text{kA}^2 \text{s}$	
		$t_{vj} = t_{vj \max}, t_p = 10 \text{ ms}$		594	$\text{kA}^2 \text{s}$	
Charakteristische Werte		Characteristic values				
Durchlaßspannung	on-state voltage	$t_{vj} = t_{vj \max}, i_F = 1,4 \text{ kA}$	V_T	max.	1,78	V
Schleusenspannung	threshold voltage	$t_{vj} = t_{vj \max}$	$V_{T(TO)}$		0,765	V
Ersatzwiderstand	slope resistance	$t_{vj} = t_{vj \max}$	r_T		0,612	$\text{m}\Omega$
Sperrstrom	reverse current	$t_{vj} = t_{vj \max}, V_R = V_{RRM}$	i_R	max.	40	mA
Thermische Eigenschaften		Thermal properties				
Innerer Widerstand	thermal resistance, junction to case	$\Theta = 180^\circ \text{ sin DC}$	R_{thJC}	max.	0,085	$^\circ\text{C}/\text{W}$
Übergangs-Wärmewiderstand	thermal resistance, case to heatsink	ohne Anschlußlasche/without contact lug mit Anschlußlasche/with contact lug	R_{thCK}	max.	0,03	$^\circ\text{C}/\text{W}$
Höchstzul.Sperrsichttemperatur	max. junction temperature		$t_{vj \max}$		160	$^\circ\text{C}$
Betriebstemperatur	operating temperature		$t_{c \text{ op}}$		-40...+160	$^\circ\text{C}$
Lagertemperatur	storage temperature		t_{stg}		-40...+160	$^\circ\text{C}$
Mechanische Eigenschaften		Mechanical properties				
Si-Element mit Druckkontakt	Si-pellet with pressure contact	$\varnothing = 34 \text{ mm}$				
Anzugsdrehmoment	tightening torque	Gehäuseform/case design B	M		60	Nm
Gewicht	weight		G		590	g
Kriechstrecke	creepage distance				21	mm
Feuchtekategorie	humidity classification	DIN 40040				C
Schwingfestigkeit	vibration resistance	f = 50 Hz			50	m/s^2
Maßbild	outline				Seite/page	
Polarität	polarity				Anode=Gehäuse/case	

D 475 N

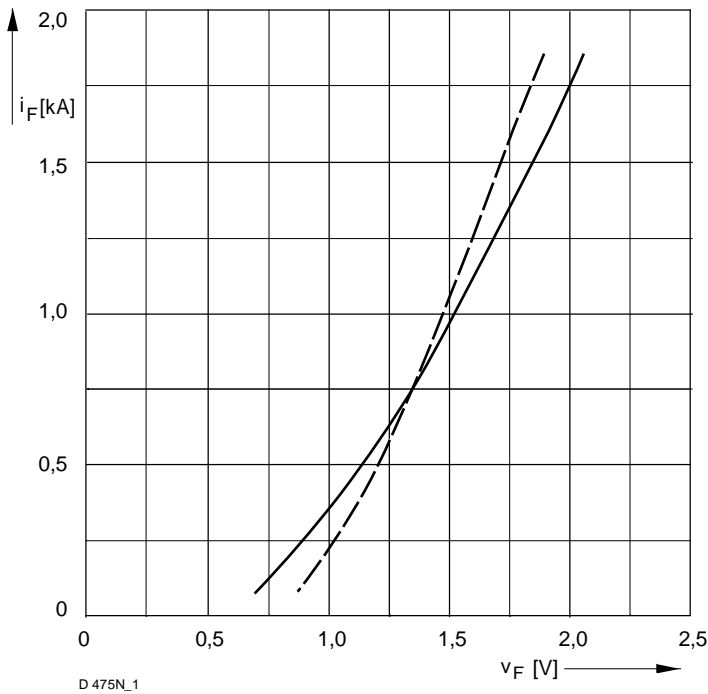


Bild / Fig. 1
Grenzdurchlaßkennlinie
Limiting forward characteristic $i_F = f(v_F)$

— $t_j = 160 \text{ }^\circ\text{C}$
- - - $t_j = 25 \text{ }^\circ\text{C}$

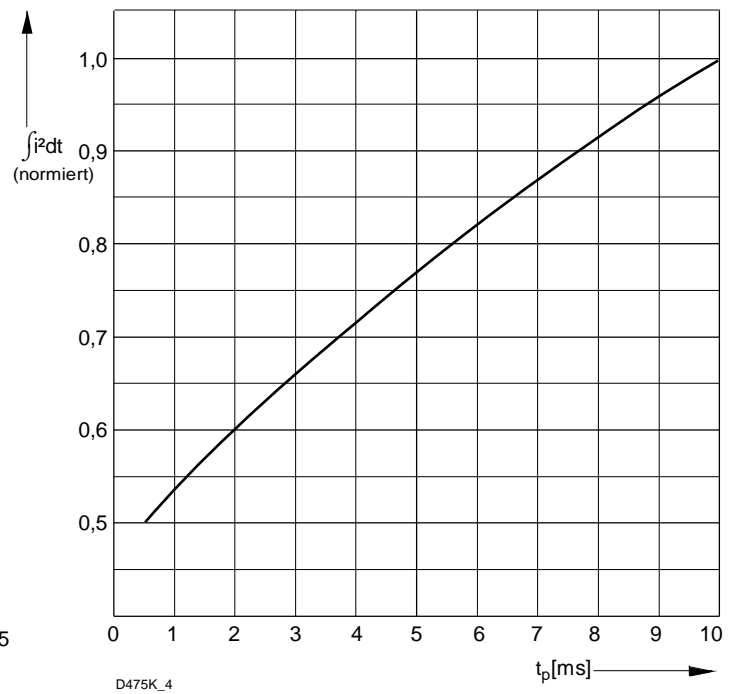


Bild / Fig. 2
Normiertes Grenzlastintegral / Normalized $\int i^2 dt = f(t_p)$

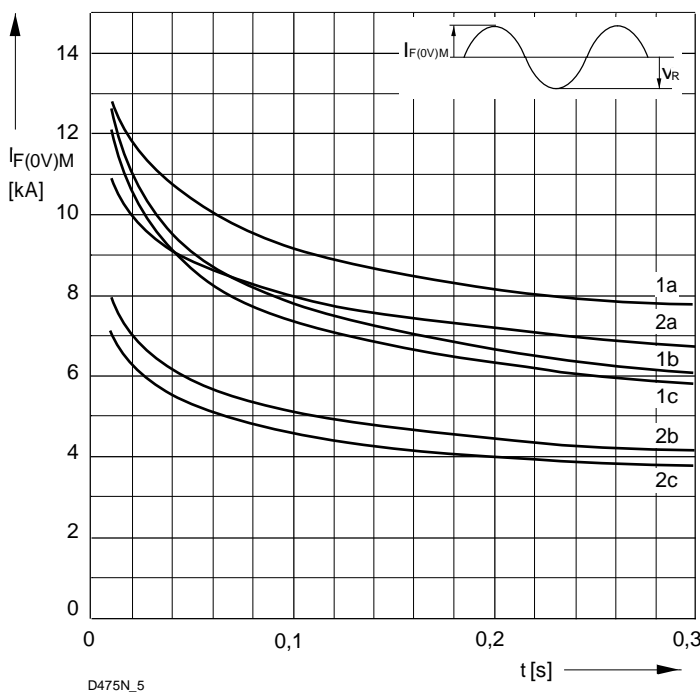


Bild / Fig. 3
Grenzstrom / Maximum overload forward current $I_F(0V)M = f(t)$

1 - $I_{FAV}(\text{vor}) = 0 \text{ A}; \quad t_j = t_c = 25 \text{ }^\circ\text{C}$
2 - $I_{FAV}(\text{vor}) = 475 \text{ A}; \quad t_c = 100 \text{ }^\circ\text{C}; \quad t_j = 160 \text{ }^\circ\text{C}$

a - $VR \leq 50 \text{ V}$
b - $VR = 0,5 \text{ V}_{RRM}$
c - $VR = 0,8 \text{ V}_{RRM}$

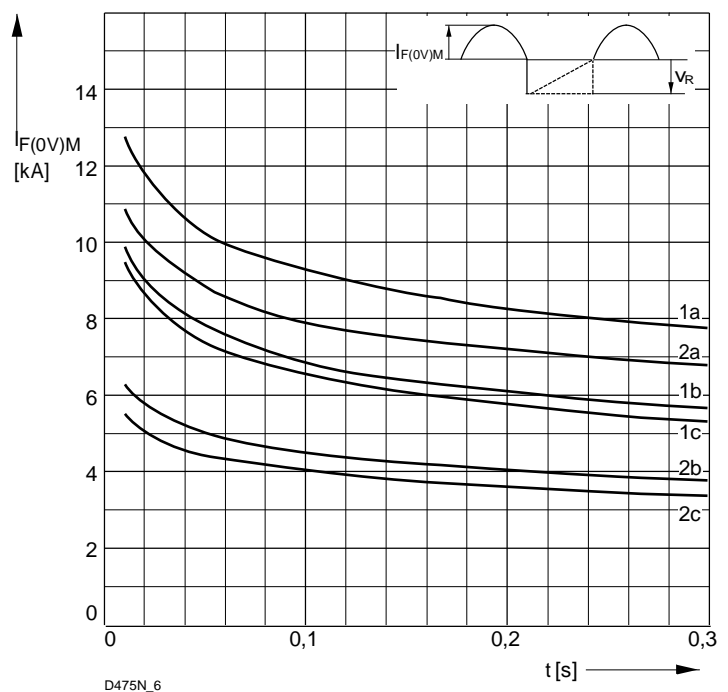


Bild / Fig. 4
Grenzstrom / Maximum overload forward current $I_F(0V)M = f(t)$

1 - $I_{FAV}(\text{vor}) = 0 \text{ A}; \quad t_j = t_c = 25 \text{ }^\circ\text{C}$
2 - $I_{FAV}(\text{vor}) = 475 \text{ A}; \quad t_c = 100 \text{ }^\circ\text{C}; \quad t_j = 160 \text{ }^\circ\text{C}$

a - $VR \leq 50 \text{ V}$
b - $VR = 0,5 \text{ V}_{RRM}$
c - $VR = 0,8 \text{ V}_{RRM}$

D 475 N

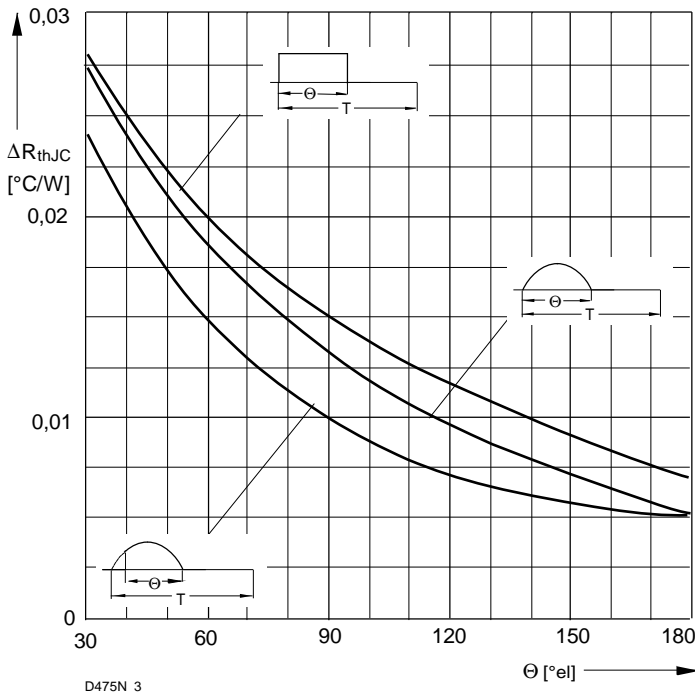


Bild / Fig. 5

Differenz zwischen den Wärmewiderständen

für Pulsstrom und DC

Difference between the values of thermal resistance for

pulse current and DC

Parameter: Stromkurvenform / Current waveform

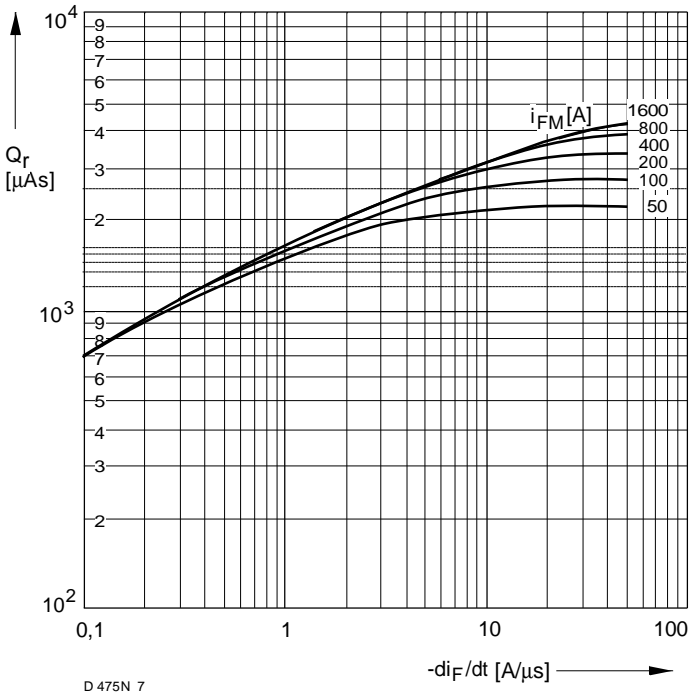


Bild / Fig. 6

Sperrverzögerungsladung / Recovered charge $Q_r = f(-di_F/dt)$

$t_{vj} = t_{vjmax}$; $VR \leq 0,5 V_{RRM}$; $V_{RM} = 0,8 V_{RRM}$

Beschaltung / Snubber: $C = 0,68 \mu F$; $R = 5,6 \Omega$

Parameter: Durchlaßstrom / Forward current i_{FM}

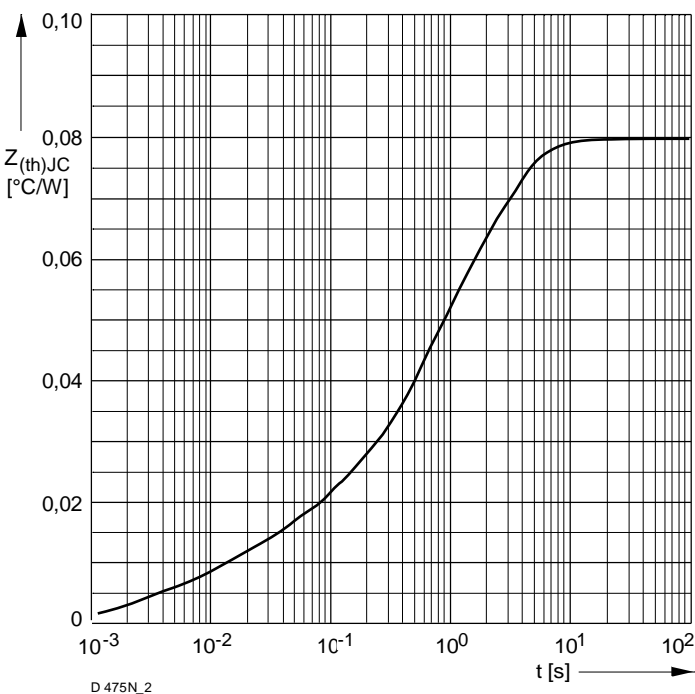


Bild / Fig. 7

Transienter innerer Wärmewiderstand

Transient thermal impedance $Z_{thJC} = f(t)$, DC

1 - Beidseitige Kühlung / Two-sided cooling

2 - Anodenseitige Kühlung / Anode-sided cooling

3 - Kathodenseitige Kühlung / Cathode-sided cooling

Analytische Elemente des transienten Wärmewiderstandes Z_{thJC} für DC
Analytical elements of transient thermal impedance Z_{thJC} for DC

Pos. n	1	2	3	4	5	6	7
R_{thn} °C/W	0,001	0,0051	0,0086	0,03	0,0353		
τ_n [s]	0,01	0,004	0,0336	0,425	2,51		

Analytische Funktion / Analytical function:

$$Z_{thJC} = \sum_{n=1}^{n_{max}} R_{thn} (1 - \text{EXP}(-t/\tau_n))$$